

RELATÓRIO DA SEGUNDA LISTA DE EXERCÍCIOS

HERBERTH AMARAL

Departamento de Ciência da Computação
Universidade Estadual de Montes Claros
herberthamaral@gmail.com
15 de outubro de 2015

1 Introdução

Este trabalho contempla as análises feitas na segunda lista de exercícios da disciplina de Computação Evolutiva. Foram implementados e analisados três algoritmos evolutivos: recozimento simulado (*simulated annealing* - SA), evolução diferencial (*differential evolution* - DE) e estratégia evolutiva (*evolution strategy* - ES) do tipo $\mu + \lambda$. Os testes foram executados com critérios de parada baseado em número de iterações e em tempo e utilizaram a função rastrigin (com e sem restrições e com 3, 5 e 10 dimensões) como *benchmark*. Os resultados mostram que o algoritmo de evolução diferencial apresentou melhor performance que os demais.

2 Desenvolvimento

Os algoritmos foram implementados utilizando a linguagem de programação *Python* e utilizando os parâmetros mostrados à seguir.

2.1 Todos os algoritmos:

1. **Critério de parada:** 10.000 iterações e 20 segundos de execução;
2. **Problema:** Rastrigin ($\underset{x}{\operatorname{argmin}}(f(x)) = 10n + \sum_{i=1}^n [x_i^2 - 10\cos(2\pi x_i)] - 5.12 \leq x \leq 5.12$) com 3, 5 e 10 dimensões, com e sem restrições;
3. **Restrições:** $g_i(x) = \sin(2\pi x_i) + 0.5 \leq 0, \forall i \in \{1, 2, \dots, ng\}$ e $h_j(x) = \sin(2\pi x_j) + 0.5 = 0, \forall j \in \{1, 2, \dots, nh\}$
4. **Valores de n (dimensões):** 3, 5 e 10

2.2 Recozimento simulado:

1. Temperaturas inicial e final: $T_0 = 1e5, T_f = 1e - 10$
2. Taxa de aprendizado: $\alpha = 0.995$

2.3 Evolução diferencial:

1. População: 20
2. Recombinação: 0.995

2.4 Estratégia evolutiva:

1. μ : 20
2. λ : 5
3. σ_i : 20
4. Operador de recombinação:[1]

$$\forall l = 1, \dots, \lambda : \mathbf{a}_l \leftarrow \begin{cases} \sigma_l \leftarrow \langle \sigma \rangle e^{\tau \mathbf{N}_l(0,1)}, \\ \mathbf{y}_l \leftarrow \langle \mathbf{y} \rangle + \sigma_l \mathbf{N}_l(\mathbf{0}, \mathbf{1}), \\ F_l \leftarrow F(\mathbf{y}_l), \end{cases} \quad (1)$$

3 Resultados

3.1 Recozimento simulado

Foi possível observar que, diferentemente dos outros algoritmos, o recozimento simulado não apresenta uma "tendência de queda": inicia-se com um certo *fitness* e logo após algumas iterações esse mesmo *fitness* piora para só depois voltar ao nível normal e finalmente ir abaixo dele. Isso pode ser explicado pelo fato que o algoritmo de recozimento simulado aceita e explora soluções piores quando a temperatura ainda está alta e passa a ter menos tolerância a resultados piores a medida que a temperatura decai. Tal evolução pode ser vista nas imagens abaixo:

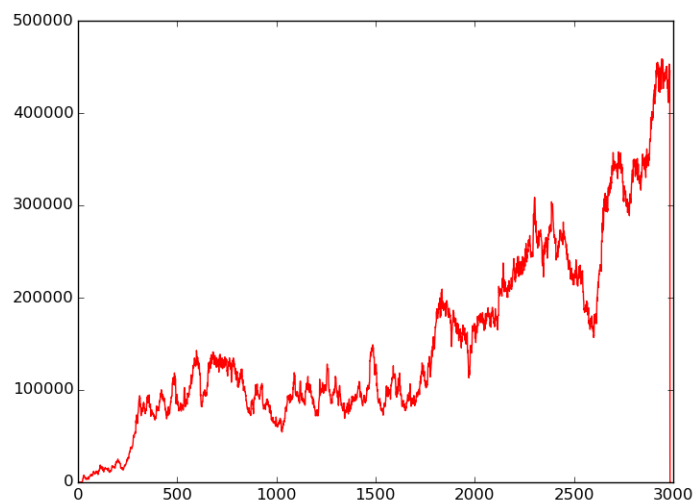


Figura 1: *Evolução do fitness do algoritmo de recozimento simulado com $n = 3$ com critério de parada por iterações*

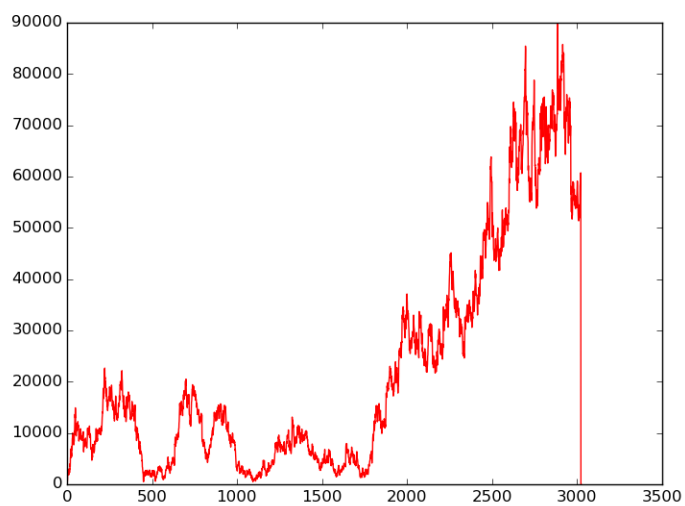


Figura 2: *Mais um exemplo de evolução do fitness do algoritmo de recozimento simulado*

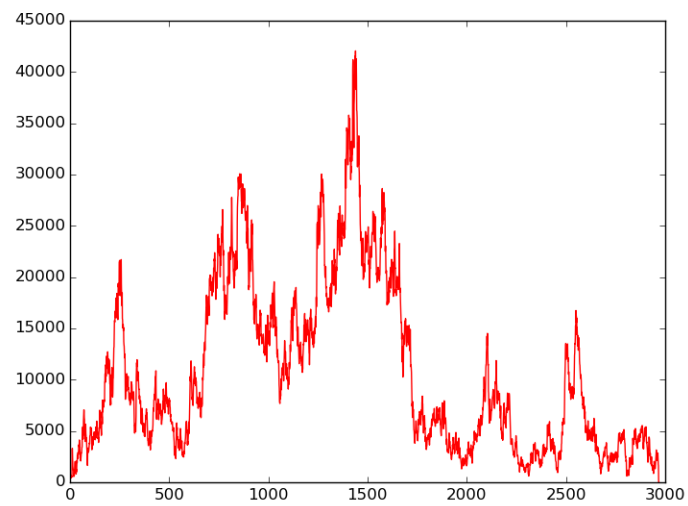


Figura 3: *Mais um exemplo de evolução do fitness do algoritmo de recozimento simulado*

3.2 Evolução diferencial

Pelos gráficos foi possível observar que o algoritmo de evolução diferencial também explora bem seu espaço de busca, porém de forma diferente do recozimento simulado. Ao invés de ter uma tendência de alta para só depois baixar, o algoritmo apresenta uma tendência de baixa o tempo inteiro, mas com um alto desvio padrão por janela de tempo no início que diminui no final.

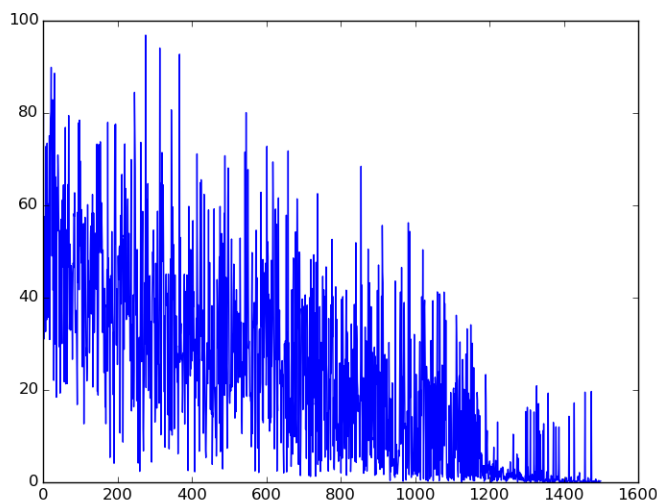


Figura 4: *Exemplo de evolução do fitness do algoritmo de evolução diferencial com critério de iterações para parada*

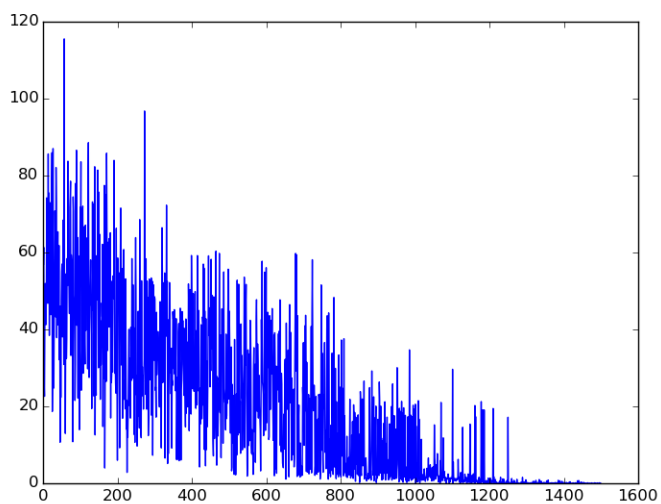


Figura 5: Exemplo de evolução do fitness do algoritmo de evolução diferencial com critério de tempo para parada

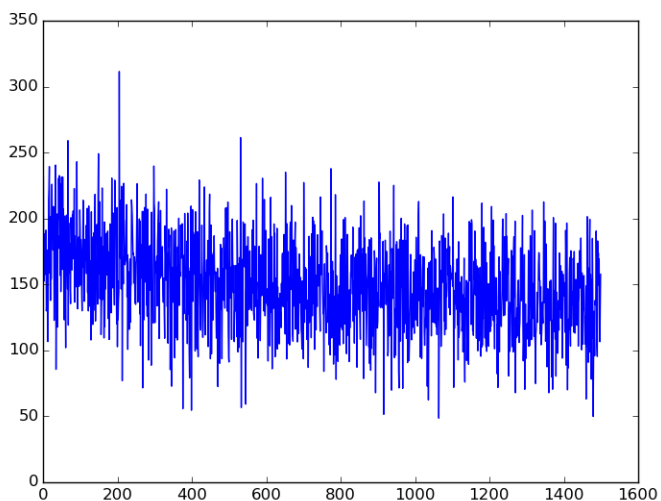


Figura 6: Exemplo de evolução do fitness do algoritmo de evolução diferencial com critério de tempo para parada em 10 dimensões.

3.3 Estratégia evolutiva

Os algoritmos de estratégia evolutiva são os que menos exploraram o espaço de busca e tiveram uma convergência rápida (não necessariamente prematura). A convergência rápida pode ser explicada por causa das taxas de mutação baseadas no desvio padrão que decaem relativamente rápido. O algoritmo de estratégia evolutiva foi o único em que o critério de tempo não fez sentido por causa da convergência rápida.

Tentou-se inserir perturbações quando o desvio padrão das dez últimas iterações fosse zero. O espaço de busca foi melhor explorado, mas os resultados pioraram.

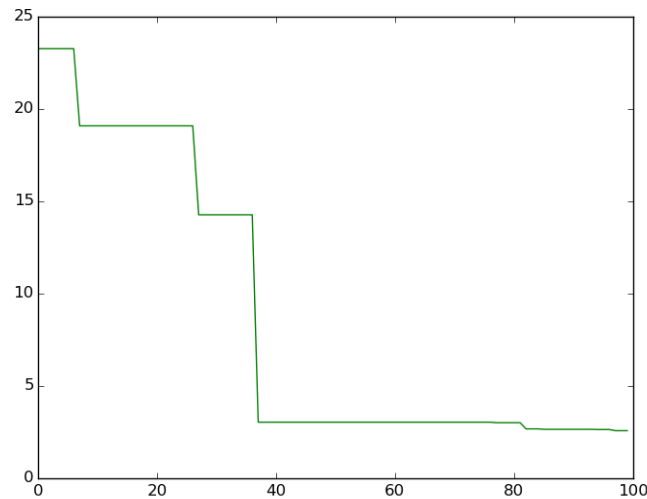


Figura 7: Exemplo de evolução do fitness do algoritmo de estratégia evolutiva $\mu + \lambda$

Para melhor visualização, as figuras abaixo contemplam a evolução do *fitness* somente das 100 primeiras iterações.

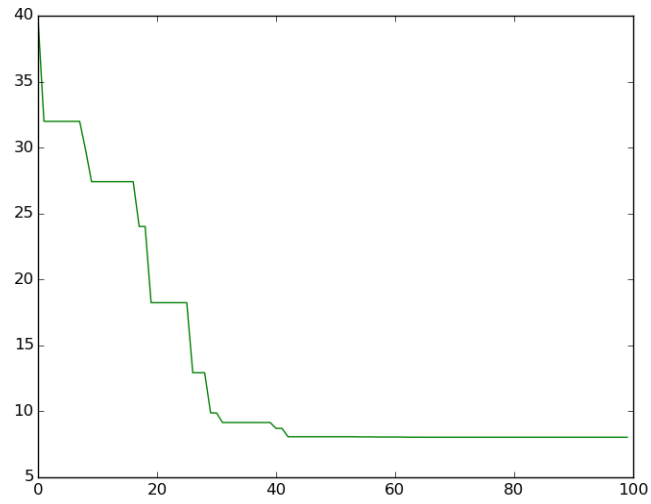


Figura 8: *Mais um exemplo de evolução do fitness do algoritmo de estratégia evolutiva $\mu + \lambda$*

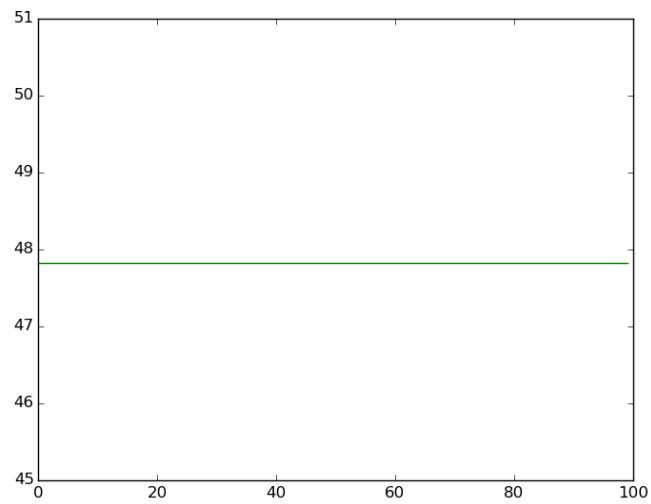


Figura 9: *Neste caso, o algoritmo ficou preso num mínimo local*

3.4 Comparativo dos três algoritmos em vista do critério de tempo

Os resultados mostram a maior eficiência do algoritmo de evolução diferencial. Vale ressaltar que a convergência se dá muito antes do tempo completar, não sendo necessário um tempo de execução tão alto para seu caso (20 segundos).

Algoritmo	Valor médio (DP)	Valor mínimo
Recozimento simulado	0.97 (1.21)	0.012
Estratégia evolutiva	1.91 (1.094)	0.060
Evolução diferencial	1.62e-09 (1.76e-09)	3.17e-10

Referências

- [1] BEYER, Hans-Georg (2007), *Evolution strategies*. Disponível em http://www.scholarpedia.org/article/Evolution_strategies. Acessado em 14/10/2015.
- [2] GUIMARÃES, Frederico Gadelha, *Algoritmos de evolução diferencial para otimização e aprendizado de máquina*. Anais do IX Congresso Brasileiro de Redes Neurais/Inteligência Computacional (IX CBRN) - 2009.